

# НАЧЕРТАТЕЛЬНАЯ ГЕОМЕТРИЯ И КОМПЬЮТЕРНАЯ ГРАФИКА

УДК 515.1:621.9.09.02.001.2

Э.К. СМОРЩКОВ

Монреаль, Канада

## ГРАФО-ГЕОМЕТРИЧЕСКИЕ МОДЕЛИ (ИНТЕРПРЕТАЦИИ) НЕКОТОРЫХ ЗАДАЧ МАТЕМАТИЧЕСКОГО АНАЛИЗА

Известно, что сочетание аналитических и графических расчетов всегда эффективно. Усвоение учебного материала оказывается глубже и устойчивее, а проведение исследований — более успешным. Важнейшими звенями должны стать, во-первых, определение круга задач и, во-вторых, отыскание эквивалентных моделей. «...Важно, чтобы геометрические построения и вычисления были внутренне связаны с рассматриваемыми объектами. Тогда геометрические фигуры все время будут находиться в поле зрения исследователя...» [1]. В развитие [2] покажем несколько примеров из теории пределов. Пусть требуется определить значение пределов следующих соотношений:

$$\lim_{x \rightarrow \infty} f(x) = \lim_{x \rightarrow \infty} \frac{x^2 + 2x - 1}{3x^2 + 2} \quad (1)$$

$$\lim_{x \rightarrow \infty} f(x) = \lim_{x \rightarrow \infty} \frac{x^4 - x^3 - 3x}{7x^2 + 9} \quad (2)$$

$$\lim_{x \rightarrow 36} f(x) = \lim_{x \rightarrow 36} \frac{\sqrt{x} - 6}{x - 36} \quad (3)$$

$$\lim_{t \rightarrow 0} \left[ \frac{e^t - 1}{t}, \frac{\sqrt{1+t} - 1}{t}, \frac{3}{1+t} \right] \quad (4)$$

В двух первых примерах при подстановке значений аргумента возникает неопределенность вида  $\frac{\infty}{\infty}$ , а в третьем — неопределенность вида  $\frac{0}{0}$ . Известно, что раскрывать такие неопределенностей можно несколькими способами, в т.ч. применяя правило Г. Лопитала (фр. математика — 1661 — 1704 г.г.). Отметим, что в данном случае нас прежде всего интересует графо-геометрическая сторона как исходных данных, так и процесса решения. Рассмотрим подробнее соотношение (1). Обозначим числитель как функцию

$$\psi(x) = x^2 + 2x - 1 \quad (5)$$

Последнее выражение задает параболу, у которой координаты вершины могут быть определены по известным зависимостям:  $x = -\frac{b}{2a}$ , где  $b = 2$ ,  $a = 1$ . Тогда  $x = -1$  и  $\psi(x) = 1 - 2 - 1 = -2$ . Положив  $x = 0$ ,

найдем координату пересечения параболы с осью  $\psi(x)$ . Имеем  $\psi(x) = -1$ . При  $\psi(x) = 0$  получаем

$$x_{1,2} = -1 \pm \sqrt{1+1} = -1 \pm 1,41.$$

Значит,  $x_1 = 0,41$  и  $x_2 = -2,41$

Обозначим знаменатель как функцию

$$\omega(x) = 3x^2 + 2, \quad (6)$$

задающую также параболу, у которой координаты  $x, \omega(x)$  вершины будут соответственно равны 0 и 2. При этом ось  $\psi(x)$  совместим с  $\omega(x)$ . В общепринятом смысле такую ось координат принято считать осью ординат и обозначать как игрек. Отношение функции  $\psi(x)$  к функции  $\omega(x)$  можно реализовать в соответствии с методикой, изложенной в [2] путем двух преобразований. Вначале получить соотношение  $\frac{1}{\omega(x)}$ , а затем преобразовать его в  $\frac{1}{\omega(x)} \times \psi(x)$ . Не задаваясь целью проанализировать характер искомой линии, отметим, что она пройдет через точки  $-2,41$  и  $0,41$  горизонтальной оси координат и  $-0,5 = \frac{-1}{2}$  вертикальной оси (рис.1). При всем этом мы пока не достигли результата в определении предела, хотя и приблизились в направлении цели. Дальнейшие шаги должны быть направлены в сторону графо-геометрической версии правила Лопитала в раскрытии неопределенности  $\frac{\infty}{\infty}$ . С аналитической точки зрения необходимо вначале вычислить первые производные функций  $\psi(x)$  и  $\omega(x)$ .

$$\psi'(x) = 2x + 2,$$

$$\omega'(x) = 6x \quad (7)$$

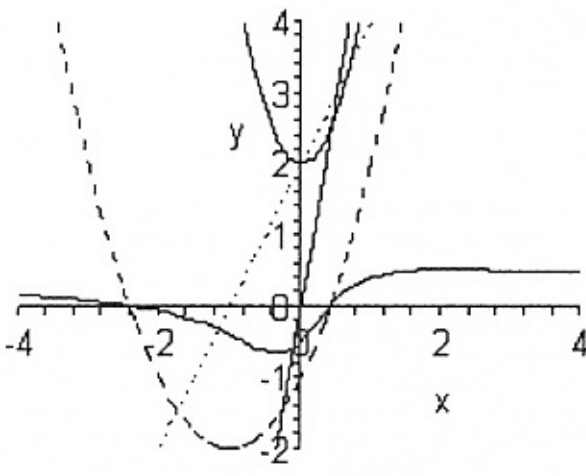


Рис. 1.

Графики этих функций представляют собой прямые линии с угловыми коэффициентами соответственно 2 и 6. Частное от деления значений названных коэффициентов будет являться пределом соотношения (1). По правилу Лопитала требуется одно действие, а именно вычисление второй производной от функций  $\psi(x)$  и  $\omega(x)$ . Следовательно, имеем:

$$\psi''(x) = 2,$$

$$\omega''(x) = 6.$$

С геометрических позиций этим значениям соответствуют две прямые, параллельные осям  $x$  и имеющие ординаты соответственно 2 и 6.

Итак,

$$\lim_{x \rightarrow \infty} f(x) = \frac{2}{6} = \frac{1}{3}$$

В случае перестановки местами числителя и знаменателя в соотношении (1) значение предела будет равно 3.

Как видно, установлена полная аналогия аналитических, графо-геометрических расчетов и построений.

Проанализируем соотношение (2). В этой части, полагая, что задача решена, т.е. требуемый предел найден, следует разыскать такие зависимости, которые позволят свести данную задачу к другим, известным ранее [3]. Сравнивая (2) с (1), видим, что в том и другом случае задано отношение двух многочленов. Следовательно, можно применить одну и ту же методику решения, а именно:

а) обозначим числитель  $x^4 - x^3 - 3x$  через  $\psi(x)$ , и знаменатель  $7x^2 + 9$  через  $\omega(x)$ . Выражение  $\psi(x)$  задает кривую четвертого порядка, а  $\omega(x)$  – параболу второго порядка;

б) применяя последовательно правило Лопитала, находим

$$\lim_{x \rightarrow \infty} f(x) = \infty.$$

Графики функций, участвующих в решении, показаны на рис. 2. Расширим поставленную задачу. Предварительно условимся функции  $\psi(x) = x^4 - x^3 - 3x$ ,  $\psi'(x) = 4x^3 - 3x^2 - 3$ ,  $\psi''(x) = 12x^2 - 6x$ ,  $\psi'''(x) = 24x - 6$ ,  $\psi''''(x) = 24$  называть семейством функций числителя, в то время как функции  $\omega(x) = 7x^2 + 9$ ,  $\omega'(x) = 14x$ ,  $\omega''(x) = 14$  – семейством функций знаменателя. Поставим дополнительную задачу: на линиях семейств найти точки, у которых касательные проходят под наперед-заданным углом наклона  $\alpha$ . Пусть угол  $\alpha = \arctg 6 = 80^\circ 33'$ . Точками семейства знаменателя являются А и В. Точками семейства числителя будут: I и K, G и H, E и F, C и D. Поясним сказанное на примере первых двух точек;

в) вначале отметим точку А пересечения линии  $\psi(x)$  с прямой, у которой  $y = 6$ . Используя соответствующую формулу, получаем  $x_A = \frac{6}{14} = \frac{3}{7}$ ;

г) после этого через точку А проведем вертикальную прямую до пересечения с линией  $\omega(x)$ . Полученную точку обозначим буквой В, у которой  $x_B = \frac{3}{7}$ ,

а  $y_B = \omega(x) = 7\left(\frac{3}{7}\right)^2 + 9 = \frac{9}{7} + 9 = \frac{72}{7} = 10,285714$ . Таким образом, маршрут построений начинается от последую-

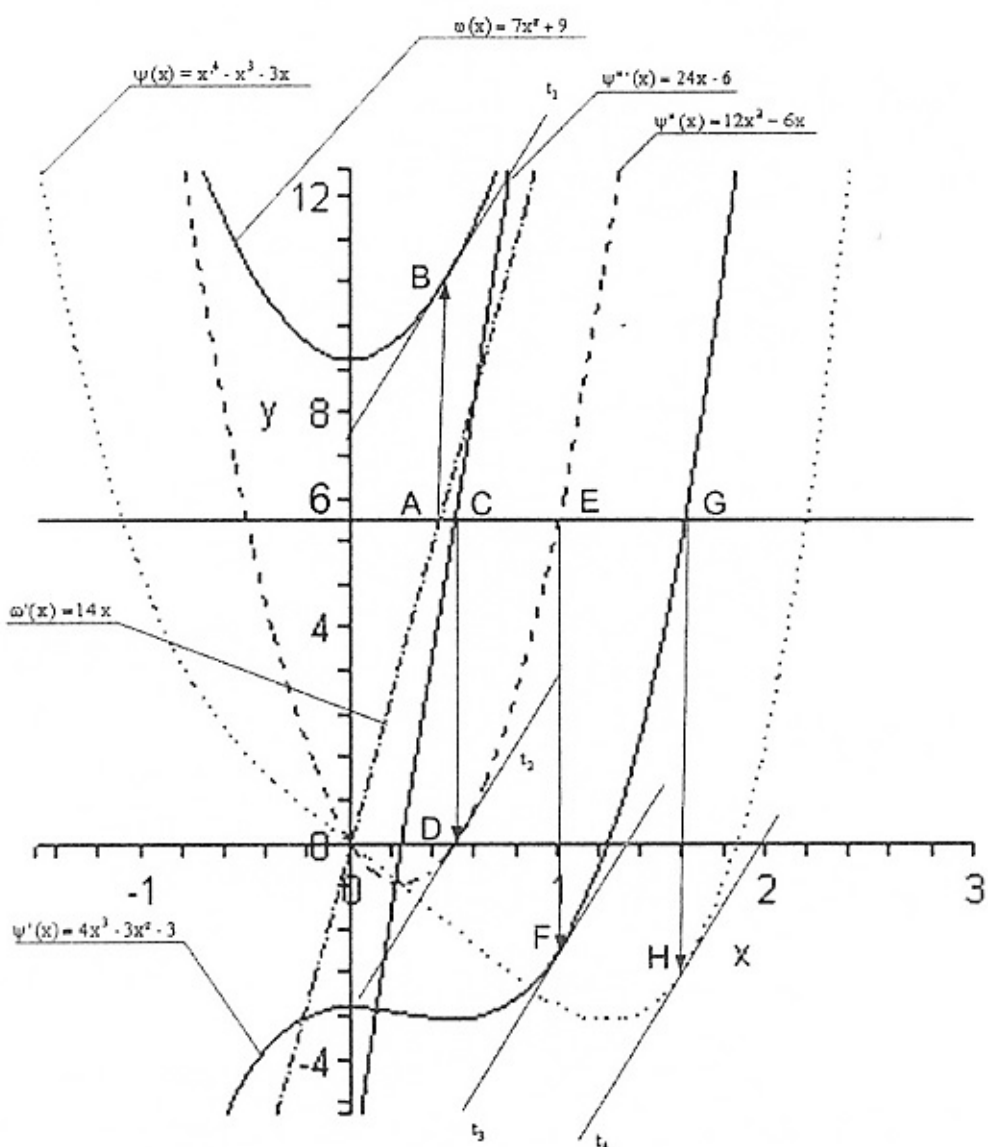


Рис. 2.

щей линии (в данном случае первой производной) и заканчивается на предыдущей (в данном случае исходной) того же семейства линий. Аналогично строятся другие пары точек. На рис.2 графики функций  $\psi''(x)$  и  $\omega'(x)$  не показаны.

Соотношение (3). Покажем аналитическое решение, основанное на использовании правила Лопитала.

$$\lim_{x \rightarrow 36} \frac{\sqrt{x} - 6}{x - 36} = \lim_{x \rightarrow 36} \frac{x^{1/2} - 6}{x - 36} = \lim_{x \rightarrow 36} \frac{\frac{1}{2}x^{-1/2}}{1} = \\ = \lim_{x \rightarrow 36} \frac{1}{2\sqrt{x}} = \frac{1}{2 \cdot 6} = \frac{1}{12} \quad (8)$$

Графо-геометрическая интерпретация показана на рис.3.

Последний пример, соотношение (4), относится к случаю задания пространственной линии в параметрической форме. В квадратных скобках приведены уравнения, по которым рассчитывают соответственно значения пределов координат  $x$ ,  $y$ ,  $z$ , когда параметр  $t$  стремится к нулю. Рассмотрим поочередно выражения

$$\lim_{t \rightarrow 0} \frac{e^t - 1}{t}, \lim_{t \rightarrow 0} \frac{\sqrt{1+t} - 1}{t}, \lim_{t \rightarrow 0} \frac{3}{1+t}$$

Два первых соотношения приобретают неопределенность типа  $\frac{0}{0}$ . Введем обозначения:

$$\lim_{t \rightarrow 0} \frac{e^t - 1}{t} = m, \quad (9)$$

$$\lim_{t \rightarrow 0} \frac{\sqrt{1+t} - 1}{t} = n \quad (10)$$

Пусть в (9) и (10)

$$\frac{e^t - 1}{t} = \psi(t), \quad (11)$$

$$e^t - 1 = \omega(t), \quad (12)$$

$$\frac{\sqrt{1+t} - 1}{t} = \tau(t). \quad (13)$$

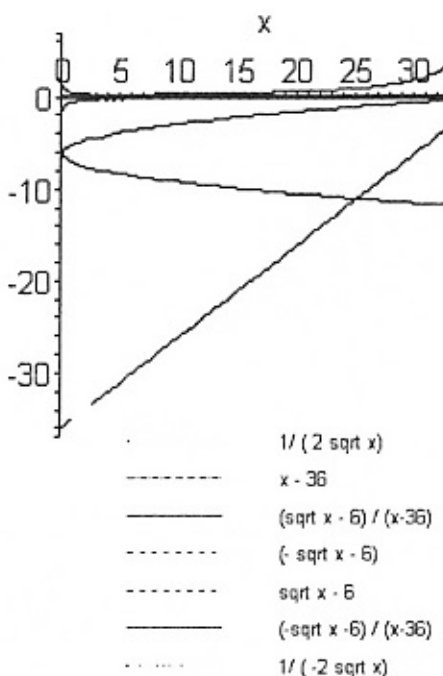


Рис. 3.

Применив правило Лопитала, получаем:

$$\psi'(t) = \left(\frac{e^t - 1}{t}\right)' = \frac{e^t}{1} = e^t \text{ и } \tau'(t) = \left(\frac{(1+t)^{\frac{1}{2}}}{t}\right)' = \frac{1}{2\sqrt{1+t}}$$

Следовательно,

$$\lim_{t \rightarrow 0} f(t) = \lim_{t \rightarrow 0} e^t = 1 \text{ и } \lim_{t \rightarrow 0} \frac{1}{2\sqrt{1+t}} = \frac{1}{2}$$

Графо-геометрическая модель, адекватная рассмотренной аналитической, представлена на рис. 4. При этом оси  $x$  и  $y$  у совмещены для компактности чертежа. Рассмотренная линия является пространственной спиралью, одна из точек которой имеет координаты:  $x_0 = 1$ ,  $y_0 = 0,5$ ,  $z_0 = 3$ . При  $t \rightarrow \infty$  значение  $x \rightarrow \infty$ ,  $y \rightarrow 0$  и  $z \rightarrow 0$ . Причем  $t$  не может быть меньше, чем  $-1$ .

В заключение остается сослаться на чрезвычайно емкую, на наш взгляд, цитату: «... Общеизвестно, что геометрическая интерпретация алгебраических задач, или иначе — перевод алгебраической задачи на геометрический язык, является эффективным средством решения задач. Это помогает и найти решение, и убедиться в его правильности или обнаружить ошибку...» [5].

#### Выводы:

1. В случае, когда аргумент стремится к какому-либо числу из рационального ряда, графо-геометрическая модель чаще всего сводится лишь к построению графиков функций, а значение предела отношения — к вычислению отношения  $\frac{\psi(x)}{\phi(x)}$ .

2. Графо-геометрические модели определения пределов отношения  $f(x)$  многочленов разделяются на три группы в зависимости от конфигурации функций  $\psi(x)$  и  $\phi(x)$ .

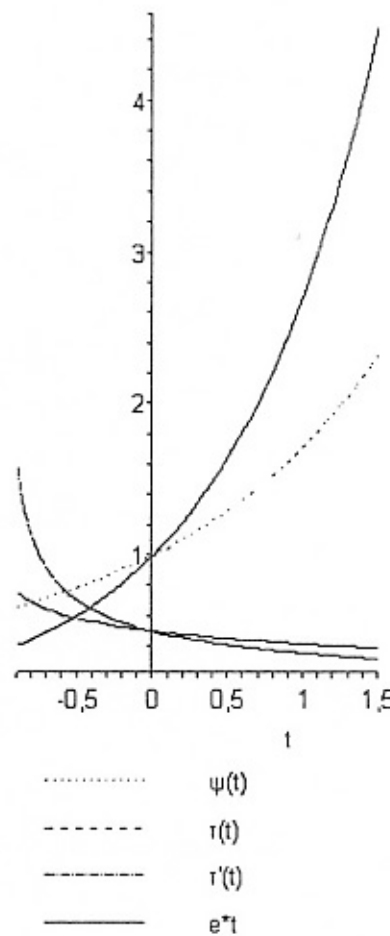


Рис. 4.

3. В этой связи при возникновении неопределенностей вида  $\frac{0}{0}$ , либо  $\frac{\infty}{\infty}$  указанные модели строятся на основании выполнения преобразований заданных функций с целью приведения их к виду  $\psi_n(x) = a$  и  $\phi_n(x) = b$ , где  $n$  задает число производных, равное показателю степени многочленов. В свою очередь,  $a$  и  $b$  приобретают значения из рационального ряда чисел.

4. В случае, когда  $\psi(x)$ ,  $\phi(x)$  — сложные функции, графо-геометрическая модель определения пределов отношения функций строится на основе выполнения композиций биективных геометрических преобразований.

#### Библиографический список

1. Выгодский М.Я. Дифференциальная геометрия. М., А, 1949.
2. Сморщков Э.К. Моделирование композиций биективных преобразований дискретных линий и их семейств. Сборник статей «Омский научный вестник» № 4, Омск, 2006.
3. Аурье М.В. Геометрия. Техника решения задач. «Феникс», Ростов-на-Дону, М., 2002.
4. Maple 9.5 Getting Started Guide. Maplesoft, a division of Waterloo Maple Inc, 2004.
5. Дорофеев Г.В., Муравин Г.К., Седова Е.А. Математика. 11 класс, «Дрофа», М., 2001.

СМОРЩКОВ Эдуард Константинович.

Статья поступила в редакцию 30.06.06  
© Сморщков Э.К.